

Государственное образовательное учреждение высшего профессионального образования «Сибирская государственная автомобильно-дорожная академия» (СибАДИ)

ИСПЫТАТЕЛЬНЫЙ ЦЕНТР «СТРОЙТЕСТ-СИБАДИ»

МЕТОДИКА ТЕПЛОТЕХНИЧЕСКОГО РАСЧЕТА
НАРУЖНЫХ СТЕН ЗДАНИЙ С НАВЕСНЫМИ
ФАСАДНЫМИ СИСТЕМАМИ
«МЕТАЛЛ ПРОФИЛЬ»

ТР-К.45/2-2009

ФЕДЕРАЛЬНОЕ АГЕНТСТВО ПО ОБРАЗОВАНИЮ

Государственное образовательное учреждение высшего профессионального образования
СИБИРСКАЯ ГОСУДАРСТВЕННАЯ АВТОМОБИЛЬНО – ДОРОЖНАЯ АКАДЕМИЯ

ИСПЫТАТЕЛЬНЫЙ ЦЕНТР «СТРОЙТЕСТ – СИБАДИ»

644080, Омск – 80, пр. Мира 5, телефон (3812) 233-188, факс (3812) – 24-36-91

"УТВЕРЖДАЮ"

Руководитель ИЦ «Стройтест-СибАДИ»

Аттестат аккредитации

№ РОСС RU.9001.21СЛ97

Зарегистрирован в Государственном
реестре 9 марта 2004 г.

 Кривошеин А.Д.
" 10 08 2009 г.



МЕТОДИКА ТЕПЛОТЕХНИЧЕСКОГО РАСЧЕТА
НАРУЖНЫХ СТЕН ЗДАНИЙ С НАВЕСНЫМИ
ФАСАДНЫМИ СИСТЕМАМИ
«МЕТАЛЛ ПРОФИЛЬ»

ТР К.45/2-2009

| | |
|--------------|--|
| Инф.№ подл | |
| Подл. и дата | |
| Взам. инв. № | |

Омск - 2009

ПРЕДИСЛОВИЕ

Методика теплотехнического расчета наружных стен зданий с навесными фасадными системами «Металл Профиль» разработана сотрудниками инженерно-строительного института ГОУ ВПО СибАДИ (ИЦ «Стройтест-СибАДИ») по заказу ООО «Промышленная компания Металл Профиль-Лобня».

Разработка методики обусловлена необходимостью детализации ряда положений СНиП 23-02-2003 «Тепловая защита зданий», СП 23-101-2003 «Проектирование тепловой защиты зданий» с учетом особенностей конструктивных решений навесных фасадных систем «ВФ МП» с различными видами облицовок производства группы компаний «Металл Профиль».

Предназначена для проектировщиков, инженерно-технических сотрудников строительных и проектных организаций.



МЕТАЛЛ ПРОФИЛЬ
МЕТАЛЛ ПРОФИЛЬ
группа компаний

СОДЕРЖАНИЕ

| Обозначение | Наименование | Примечание | |
|------------------------------|---|------------|--|
| Пояснительная записка | 1. ОБЩИЕ ПОЛОЖЕНИЯ | Стр.5 | |
| | 2. ОПРЕДЕЛЕНИЕ ТРЕБУЕМЫХ ПОКАЗАТЕЛЕЙ ТЕПЛОВОЙ ЗАЩИТЫ ЗДАНИЙ | Стр.6 | |
| | 3. РАСЧЕТ ПРИВЕДЕННОГО СОПРОТИВЛЕНИЯ ТЕПЛОПЕРЕДАЧЕ | Стр.8 | |
| | 3.1. Выбор (задание) конструктивного решения стены | Стр.8 | |
| | 3.2. Определение требуемой толщины теплоизоляционного слоя | Стр.8 | |
| | 3.3. Расчет приведенного сопротивления теплопередаче стены для фасада здания или среднего промежуточного этажа | Стр.12 | |
| | 4. ОЦЕНКА ТЕМПЕРАТУРНОГО РЕЖИМА КОНСТРУКЦИЙ | Стр.14 | |
| Приложения | СПИСОК ИСПОЛЬЗОВАННЫХ ИСТОЧНИКОВ | Стр.14 | |
| | Приложение А. Значения требуемого R_{reg} и допустимого R_{min} сопротивления теплопередаче наружных стен зданий для некоторых климатических районов (по СНиП 23-02-2003) | Стр.16 | |
| | Приложение Б. Температура точки росы для некоторых значений температур и относительной влажности воздуха | Стр.19 | |
| | Приложение В. Пример расчета приведенного сопротивления теплопередаче фрагмента наружной стены с навесной фасадной системой «ВФ МП» по программе расчета трехмерных температурных полей | Стр.20 | |
| | Приложение Г. Результаты расчета коэффициента теплотехнической однородности наружных стен с навесной фасадной системой «ВФ МП» | Стр.23 | |
| | Приложение Д. Примеры теплотехнического расчета наружных стен зданий с навесной фасадной системой «ВФ МП» | Стр.34 | |
| | | | |
| | | | |
| | | | |
| | | | |

Взам. инв. №

Подп. и дата

Инв.№ подл.

| Изм. | Кол.уч. | Лист | № док. | Подп. | Дата |
|------------|---------|----------------|--------|-------|------|
| | | | | | |
| Разработал | | Харламов Д.А. | | | |
| Проверил | | Кривошеин А.Д. | | | |
| | | | | | |

ТР-К.45/2-2009

МЕТОДИКА ТЕПЛОТЕХНИЧЕСКОГО РАСЧЕТА НАРУЖНЫХ СТЕН ЗДАНИЙ С НАВЕСНЫМИ ФАСАДНЫМИ СИСТЕМАМИ «МЕТАЛЛ ПРОФИЛЬ».

Содержание

| Стадия | Лист | Листов |
|--------|------|--------|
| | 1 | 2 |

Испытательный центр
«СТРОЙТЕСТ-СИБАДИ»

- сопоставление расчетных значений с нормируемыми показателями.

1.4. Расчет влажностного режима наружных стен с вентилируемыми фасадными системами, оценку температуры и расхода воздуха в вентилируемой прослойке следует проводить согласно «Рекомендаций по проектированию навесных фасадных систем с вентилируемым воздушным зазором для нового строительства и реконструкции зданий» [6].

Для наружных стен зданий с нормальным и сухим режимом эксплуатации при соблюдении конструктивных требований, представленных в альбомах технических решений [3, 4, 5] (ширина вентилируемой прослойки, размеры зазоров между отдельными элементами облицовки), расчет влажностного режима может не проводиться.

2. ОПРЕДЕЛЕНИЕ ТРЕБУЕМЫХ ПОКАЗАТЕЛЕЙ ТЕПЛОВОЙ ЗАЩИТЫ ЗДАНИЙ

2.1. При проектировании тепловой защиты зданий определяющими показателями (критериями) являются [1]:

- величина приведенного сопротивления теплопередаче отдельных ограждающих конструкций R_{reg} , $m^2 \cdot ^\circ C / Вт$;
- температурный перепад между температурами внутреннего воздуха и внутренней поверхности конструкции, Δt_n , $^\circ C$ (под температурой внутренней поверхности конструкции понимается средняя температура);
- минимальная температура внутренней поверхности, t_{min} , $^\circ C$;
- удельный расход тепловой энергии на отопление здания q_h^{reg} , $кДж / (m^2 \cdot ^\circ C \cdot сут)$ или $кДж / (m^3 \cdot ^\circ C \cdot сут)$.

Необходимо отметить, что в ряде регионов РФ действуют территориальные строительные нормы (ТСН), требования которых могут отличаться от СНиП 23-02-2003 [1] как по составу показателей, так и их величине. В частности, могут нормироваться:

- минимально допустимое сопротивление теплопередаче ограждающих конструкций R_o^{min} , $m^2 \cdot ^\circ C / Вт$;
- удельный расход тепловой энергии на отопление и вентиляцию здания за отопительный период q_h^{reg} , $МДж / (m^2 \cdot год)$ или $МДж / (m^3 \cdot год)$.

2.2. Величина приведенного сопротивления теплопередаче ограждающей конструкции R_o , $m^2 \cdot ^\circ C / Вт$, должна быть не менее нормируемого значения R_{reg} , принимаемого согласно таблицы 4 [1] в зависимости от назначения здания и величины градусо-суток отопительного периода D_d , $^\circ C \cdot сут$.

$$D_d = (t_{int} - t_{ht}) \cdot z_{ht} \quad , \quad (2.1)$$

где t_{int} - расчетная температура внутреннего воздуха здания, $^\circ C$, принимаемая для расчета ограждающих конструкций группы зданий по поз. 1 таблицы 4 [1] по минимальным значениям оптимальной температуры соответствующих зданий по ГОСТ 30494-96 [7], для группы зданий по поз.2 таблицы 4 [1] - согласно классификации помещений и минимальных значений оптимальной температуры по ГОСТ 30494-96, зданий по поз.3 таблицы 4 [1] - по нормам проектирования соответствующих зданий;

t_{ht} , z_{ht} — средняя температура наружного воздуха, $^\circ C$, и продолжительность, сут, отопительного периода, принимаемые по СНиП 23-01-99 [8] для периода со средней суточной температурой наружного воздуха не более $10 \text{ }^\circ C$ - при проектировании лечебно-профилактических, детских учреждений и домов-интернатов для престарелых, и не более $8 \text{ }^\circ C$ - в остальных случаях.

Необходимо подчеркнуть, что в соответствии с п.5.13 [1] величина приведенного сопротивления теплопередаче отдельных ограждающих конструкций R_o может приниматься менее нормируемых значений R_{reg} , представленных в таблице 4 [1], если в результате расчета теплопотребления здания его удельный расход тепловой энергии q_h^{des} окажется меньше нормируемого значения q_h^{reg} . При этом величина приведенного сопротивления теплопередаче отдельных конструкций должна быть не ниже минимальных величин R_{min} , $m^2 \cdot ^\circ C / Вт$:

| | | | | | | | |
|------|---------|------|--------|---------|------|----------------|------|
| | | | | | | | Лист |
| | | | | | | | 2 |
| Изм. | Кол.уч. | Лист | № док. | Подпись | Дата | ТР-К.45/2-2009 | |

Значения коэффициентов теплотехнической однородности r для некоторых конструктивных решений наружных стен с навесной фасадной системой «ВФ МП» при шаге несущих кронштейнов **600 мм**

| Толщина несущего слоя $\delta_{нс}$, мм | Толщина теплоизоляционного слоя $\delta_{ут}$, мм | Коэффициент теплотехнической однородности r при различных коэффициентах теплопроводности теплоизоляционного слоя $\lambda_{ут}$, Вт/(м·°С) | | | |
|--|--|---|-------|-------|-------|
| | | 0,040 | 0,045 | 0,050 | 0,060 |
| Несущий слой – кирпичная кладка из обыкновенного глиняного кирпича на цементно-песчаном растворе, $\rho_o = 1800 \text{ кг/м}^3$ | | | | | |
| 250 | 50 | 0,95 | 0,95 | 0,96 | 0,96 |
| | 100 | 0,91 | 0,91 | 0,92 | 0,93 |
| | 150 | 0,87 | 0,88 | 0,89 | 0,90 |
| | 200 | 0,83 | 0,84 | 0,85 | 0,87 |
| 380 | 50 | 0,96 | 0,96 | 0,97 | 0,97 |
| | 100 | 0,91 | 0,92 | 0,93 | 0,93 |
| | 150 | 0,86 | 0,88 | 0,88 | 0,90 |
| | 200 | 0,83 | 0,84 | 0,86 | 0,88 |
| 510 | 50 | 0,95 | 0,96 | 0,96 | 0,97 |
| | 100 | 0,92 | 0,92 | 0,93 | 0,94 |
| | 150 | 0,88 | 0,89 | 0,90 | 0,91 |
| | 200 | 0,84 | 0,86 | 0,86 | 0,88 |
| Несущий слой – монолитный бетон или кладка из керамзитобетонных блоков $\rho_o \approx 600 \text{ кг/м}^3$ | | | | | |
| 400 | 50 | 0,94 | 0,94 | 0,94 | 0,94 |
| | 100 | 0,92 | 0,92 | 0,93 | 0,93 |
| | 150 | 0,88 | 0,89 | 0,90 | 0,91 |
| | 200 | 0,86 | 0,87 | 0,88 | 0,89 |
| 600 | 50 | 0,98 | 0,98 | 0,98 | 0,99 |
| | 100 | 0,95 | 0,96 | 0,96 | 0,97 |
| | 150 | 0,92 | 0,93 | 0,94 | 0,95 |
| | 200 | 0,89 | 0,91 | 0,91 | 0,93 |
| Несущий слой - монолитный бетон или кладка из керамзитобетонных блоков $\rho_o \approx 1400 \text{ кг/м}^3$ | | | | | |
| 400 | 50 | 0,95 | 0,96 | 0,96 | 0,97 |
| | 100 | 0,92 | 0,92 | 0,93 | 0,94 |
| | 150 | 0,87 | 0,88 | 0,89 | 0,90 |
| | 200 | 0,84 | 0,85 | 0,86 | 0,88 |
| 600 | 50 | 0,96 | 0,97 | 0,98 | 0,98 |
| | 100 | 0,93 | 0,93 | 0,94 | 0,94 |
| | 150 | 0,89 | 0,90 | 0,91 | 0,92 |
| | 200 | 0,85 | 0,86 | 0,88 | 0,89 |

Примечания.

1. Коэффициенты теплотехнической однородности r рассчитаны для фрагментов стен без оконных и дверных проемов.
2. В случае применения конструктивных решений наружных стен, отличающихся от представленных в таблице, следует проводить дополнительные расчеты с определением коэффициента теплотехнической однородности согласно приложению В.

| | | | | | | |
|------|---------|------|--------|---------|------|------|
| | | | | | | Лист |
| | | | | | | 6 |
| Изм. | Кол.уч. | Лист | № док. | Подпись | Дата | |

Таблица 3.4

Значения коэффициента k , учитывающего потери тепла через откосы оконных и дверных проемов

| Отношение площади оконных проемов к общей площади стены | Значения коэффициентов k при различных толщинах фасадной теплоизоляции $\delta_{ум}$ | | | |
|---|--|------------------------|------------------------|------------------------|
| | $\delta_{ум} = 50$ мм | $\delta_{ум} = 100$ мм | $\delta_{ум} = 150$ мм | $\delta_{ум} = 200$ мм |
| 0,16 | 0,98 | 0,96 | 0,94 | 0,90 |
| 0,33 | 0,94 | 0,92 | 0,90 | 0,86 |
| 0,47 | 0,94 | 0,91 | 0,89 | 0,84 |
| 0,66 | 0,90 | 0,87 | 0,83 | 0,78 |

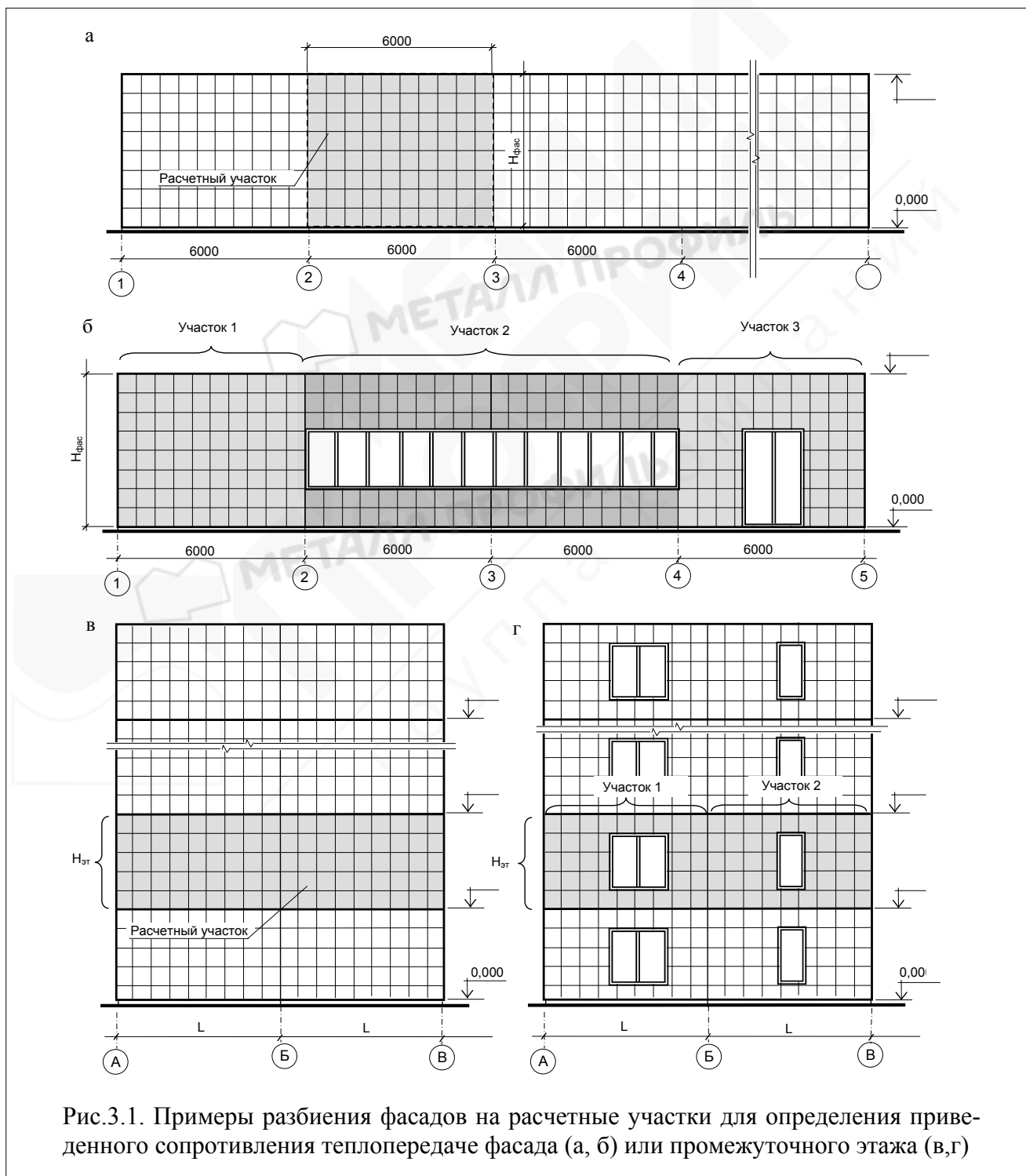


Рис.3.1. Примеры разбиения фасадов на расчетные участки для определения приведенного сопротивления теплопередаче фасада (а, б) или промежуточного этажа (в,г)

| Изм. | Кол.уч. | Лист | № док. | Подпись | Дата |
|------|---------|------|--------|---------|------|
| | | | | | |

ПРИЛОЖЕНИЯ



| | | | | | | | | | |
|--------------|---|----------------|------|--------|-------|------|----------------|---|--------|
| Взам. инв. № | | | | | | | | | |
| | | | | | | | | | |
| Подп. и дата | | | | | | | | | |
| | | | | | | | | | |
| Инв.№ подл. | Изм. | Кол.уч. | Лист | № док. | Подп. | Дата | ТР-К.45/2-2009 | | |
| | Разработал | Харламов Д.А. | | | | | Стадия | Лист | Листов |
| | Проверил | Кривошеин А.Д. | | | | | | 1 | 24 |
| | МЕТОДИКА ТЕПЛОТЕХНИЧЕСКОГО РАСЧЕТА НАРУЖНЫХ СТЕН ЗДАНИЙ С НАВЕСНЫМИ ФАСАДНЫМИ СИСТЕМАМИ «МЕТАЛЛ ПРОФИЛЬ». Приложения | | | | | | | Испытательный центр «СТРОЙТЕСТ-СИБАДИ» | |

Приложение А

(справочное)

ЗНАЧЕНИЯ ТРЕБУЕМОГО R_{reg} И ДОПУСТИМОГО R_{min} СОПРОТИВЛЕНИЯ ТЕПЛОПЕРЕДАЧЕ
НАРУЖНЫХ СТЕН ЗДАНИЙ ДЛЯ НЕКОТОРЫХ КЛИМАТИЧЕСКИХ РАЙОНОВ
(по СНиП 23-02-2003)

Таблица А1

| Район строительства | Назначение здания | Условия эксплуатации | D_{Δ} , °С·сут | R_{reg}/R_{min} , м ² °С/Вт |
|--|--------------------|----------------------|-----------------------|--|
| 1 | 2 | 3 | 4 | 5 |
| Архангельск $t_{ext} = -31$ °С; $t_{ht} = -4,4$ °С; $z_{ht} = 253$ сут. | - жилые | Б | 6426 | 3,65/2,30 |
| | - общественные | Б | 6173 | 3,05/1,92 |
| | - производственные | Б | 5161 | 2,03/1,62 |
| Астрахань $t_{ext} = -23$ °С; $t_{ht} = -1,2$ °С; $z_{ht} = 167$ сут. | - жилые | А | 3540 | 2,64/1,66 |
| | - общественные | А | 3540 | 2,26/1,42 |
| | - производственные | А | 2872 | 1,57/1,26 |
| Барнаул $t_{ext} = -39$ °С; $t_{ht} = -7,7$ °С; $z_{ht} = 221$ сут.; | - жилые | А | 6342 | 3,62/2,28 |
| | - общественные | А | 6122 | 3,04/1,92 |
| | - производственные | А | 5238 | 2,05/1,64 |
| Белгород $t_{ext} = -23$ °С; $t_{ht} = -1,9$ °С; $z_{ht} = 191$ сут.; $t_{int} = 20$ °С | - жилые | А | 4183 | 2,86/1,80 |
| | - общественные | А | 4183 | 2,45/1,54 |
| | - производственные | А | 3419 | 1,68/1,34 |
| Брянск $t_{ext} = -26$ °С; $t_{ht} = -2,3$ °С; $z_{ht} = 205$ сут. | - жилые | Б | 4572 | 3,00/1,89 |
| | - общественные | Б | 4572 | 2,57/1,62 |
| | - производственные | Б | 3752 | 1,75/1,40 |
| Владивосток $t_{ext} = -24$ °С; $t_{ht} = -3,9$ °С; $z_{ht} = 196$ сут. | - жилые | Б | 5091 | 3,18/2,00 |
| | - общественные | Б | 5091 | 2,73/1,72 |
| | - производственные | Б | 3900 | 1,78/1,42 |
| Владимир $t_{ext} = -28$ °С; $t_{ht} = -3,5$ °С; $z_{ht} = 213$ сут.; $t_{int} = 20$ °С | - жилые | Б | 5006 | 3,15/1,98 |
| | - общественные | Б | 5006 | 2,70/1,70 |
| | - производственные | Б | 4153 | 1,83/1,46 |
| Волгоград $t_{ext} = -25$ °С; $t_{ht} = -2,2$ °С; $z_{ht} = 178$ сут.; $t_{int} = 20$ °С | - жилые | А | 3952 | 2,78/1,75 |
| | - общественные | А | 3952 | 2,39/1,51 |
| | - производственные | А | 3240 | 1,65/1,32 |
| Вологда $t_{ext} = -32$ °С; $t_{ht} = -4,1$ °С; $z_{ht} = 231$ сут.; $t_{int} = 21$ °С | - жилые | Б | 5798 | 3,43/2,16 |
| | - общественные | Б | 5567 | 2,87/1,81 |
| | - производственные | Б | 4643 | 1,93/1,54 |
| Воронеж $t_{ext} = -26$ °С; $t_{ht} = -3,1$ °С; $z_{ht} = 196$ сут.; $t_{int} = 20$ °С | - жилые | А | 4528 | 2,98/1,88 |
| | - общественные | А | 4528 | 2,56/1,61 |
| | - производственные | А | 3744 | 1,75/1,40 |
| Екатеринбург $t_{ext} = -35$ °С; $t_{ht} = -6,0$ °С; $z_{ht} = 230$ сут.; $t_{int} = 21$ °С | - жилые | А | 6210 | 3,57/2,25 |
| | - общественные | А | 5980 | 2,99/1,88 |
| | - производственные | А | 5060 | 2,01/1,61 |
| Иркутск $t_{ext} = -36$ °С; $t_{ht} = -8,5$ °С; $z_{ht} = 240$ сут.; $t_{int} = 21$ °С | - жилые | А | 7080 | 3,88/2,44 |
| | - общественные | А | 6840 | 3,25/2,05 |
| | - производственные | А | 5880 | 2,18/1,74 |
| Калининград $t_{ext} = -19$ °С; $t_{ht} = +1,1$ °С; $z_{ht} = 193$ сут. | - жилые | Б | 3648 | 2,68/1,69 |
| | - общественные | Б | 3648 | 2,29/1,44 |
| | - производственные | Б | 2876 | 1,58/1,26 |

Примечания.

1. Градусо-сутки отопительного периода рассчитаны для периода со средней суточной температурой наружного воздуха не более 8 °С; при проектировании лечебно-профилактических, детских учреждений и домов-интернатов для престарелых согласно СНиП 23-02-2003 величину градусо-суток следует пересчитать.

2. При проведении расчетов температура и относительная влажность внутреннего воздуха принимались равными: в жилых и общественных зданиях (согласно перечня поз.1 табл.4 [1]) – $t_{int} = +20$ °С, $\varphi_{int} = 55\%$, для районов с расчетной температурой наружного воздуха минус 31 и ниже – $t_{int} = +21$ °С; в общественных зданиях (согласно перечня поз.2 табл.4 [1]) – $t_{int} = +20$ °С, $\varphi_{int} = 50\%$; в производственных зданиях – $t_{int} = +16$ °С, $\varphi_{int} = 50\%$.

| | | | | | | |
|------|---------|------|--------|---------|------|------|
| | | | | | | Лист |
| | | | | | | 2 |
| Изм. | Кол.уч. | Лист | № док. | Подпись | Дата | |

| 1 | 2 | 3 | 4 | 5 |
|--|---|-------------|----------------------|--|
| Казань $t_{ext} = -32^{\circ}\text{C}$; $t_{ht} = -5,2^{\circ}\text{C}$; $z_{ht} = 215$ сут. | - жилые - общественные - производственные | Б Б Б | 5633 5418 4558 | 3,37/2,12 2,83/1,78 1,91/1,53 |
| Калуга $t_{ext} = -27^{\circ}\text{C}$; $t_{ht} = -2,9^{\circ}\text{C}$; $z_{ht} = 210$ сут. | - жилые - общественные - производственные | Б Б Б | 4809 4809 3969 | 3,08/1,94 2,64/1,66 1,79/1,41 |
| Кемерово $t_{ext} = -39^{\circ}\text{C}$; $t_{ht} = -8,3^{\circ}\text{C}$; $z_{ht} = 231$ сут. | - жилые - общественные - производственные | А А А | 6768 6537 5613 | 3,77/2,38 3,16/1,99 2,12/1,70 |
| Кострома $t_{ext} = -31^{\circ}\text{C}$; $t_{ht} = -3,9^{\circ}\text{C}$; $z_{ht} = 222$ сут. | - жилые - общественные - производственные | Б Б Б | 5528 5306 4418 | 3,33/2,10 2,79/1,76 1,88/1,50 |
| Красноярск $t_{ext} = -40^{\circ}\text{C}$; $t_{ht} = -7,1^{\circ}\text{C}$; $z_{ht} = 234$ сут. | - жилые - общественные - производственные | А А А | 6575 6341 5405 | 3,70/2,33 3,10/1,95 2,08/1,66 |
| Курган $t_{ext} = -37^{\circ}\text{C}$; $t_{ht} = -7,7^{\circ}\text{C}$; $z_{ht} = 216$ сут. | - жилые - общественные - производственные | А А А | 6199 5983 5119 | 3,57/2,25 2,99/1,88 2,02/1,62 |
| Курск $t_{ext} = -26^{\circ}\text{C}$; $t_{ht} = -2,4^{\circ}\text{C}$; $z_{ht} = 198$ сут. | - жилые - общественные - производственные | Б Б Б | 4435 4435 3643 | 2,95/1,86 2,53/1,59 1,73/1,38 |
| Липецк $t_{ext} = -27^{\circ}\text{C}$; $t_{ht} = -3,4^{\circ}\text{C}$; $z_{ht} = 202$ сут. | - жилые - общественные - производственные | А А А | 4727 4727 3919 | 3,05/1,92 2,62/1,65 1,78/1,42 |
| Магадан $t_{ext} = -29^{\circ}\text{C}$; $t_{ht} = -7,1^{\circ}\text{C}$; $z_{ht} = 288$ сут. | - жилые - общественные - производственные | Б Б Б | 7805 7805 6653 | 4,13/2,60 3,54/2,23 2,33/1,86 |
| Москва $t_{ext} = -28^{\circ}\text{C}$; $t_{ht} = -3,1^{\circ}\text{C}$; $z_{ht} = 214$ сут. | - жилые - общественные - производственные | Б Б Б | 4943 4943 4087 | 3,13/1,97 2,68/1,69 1,82/1,46 |
| Нижний Новгород $t_{ext} = -31^{\circ}\text{C}$; $t_{ht} = -4,1^{\circ}\text{C}$; $z_{ht} = 215$ сут. | - жилые - общественные - производственные | Б Б Б | 5397 5182 4322 | 3,29/2,07 2,75/1,73 1,86/1,49 |
| Новосибирск $t_{ext} = -39^{\circ}\text{C}$; $t_{ht} = -8,7^{\circ}\text{C}$; $z_{ht} = 230$ сут. | - жилые - общественные - производственные | А А А | 6831 6601 5681 | 3,79/2,39 3,18/2,00 2,14/1,71 |
| Омск $t_{ext} = -37^{\circ}\text{C}$; $t_{ht} = -8,4^{\circ}\text{C}$; $z_{ht} = 221$ сут. | - жилые - общественные - производственные | А А А | 6497 6276 5392 | 3,67/2,31 3,08/1,94 2,08/1,66 |
| Пенза $t_{ext} = -29^{\circ}\text{C}$; $t_{ht} = -4,5^{\circ}\text{C}$; $z_{ht} = 207$ сут. | - жилые - общественные - производственные | А А А | 5072 5072 4244 | 3,18/2,00 2,72/1,71 1,85/1,48 |
| Пермь $t_{ext} = -35^{\circ}\text{C}$; $t_{ht} = -5,9^{\circ}\text{C}$; $z_{ht} = 229$ сут. | - жилые - общественные - производственные | Б Б Б | 6160 5931 5015 | 3,56/2,24 2,98/1,88 2,00/1,60 |
| Псков $t_{ext} = -26^{\circ}\text{C}$; $t_{ht} = -1,6^{\circ}\text{C}$; $z_{ht} = 212$ сут. | - жилые - общественные - производственные | Б Б Б | 4579 4579 3731 | 3,00/1,89 2,57/1,62 1,75/1,40 |
| Рязань $t_{ext} = -27^{\circ}\text{C}$; $t_{ht} = -3,5^{\circ}\text{C}$; $z_{ht} = 208$ сут. | - жилые - общественные - производственные | Б Б Б | 4888 4888 4056 | 3,11/1,96 2,67/1,68 1,81/1,45 |
| Салехард $t_{ext} = -42^{\circ}\text{C}$; $t_{ht} = -11,4^{\circ}\text{C}$; $z_{ht} = 292$ сут. | - жилые - общественные - производственные | Б Б Б | 9461 9169 8001 | 4,71/2,97 3,95/2,49 2,60/2,08 |

| 1 | 2 | 3 | 4 | 5 |
|---|---|-------------|------------------------|--|
| Самара $t_{ext} = -30^{\circ}\text{C}$; $t_{ht} = -5,2^{\circ}\text{C}$; $z_{ht} = 203$ сут. | - жилые - общественные - производственные | А А А | 5116 5116 4304 | 3,19/2,01 2,73/1,72 1,86/1,49 |
| С.Петербург $t_{ext} = -26^{\circ}\text{C}$; $t_{ht} = -1,8^{\circ}\text{C}$; $z_{ht} = 220$ сут. | - жилые - общественные - производственные | Б Б Б | 4796 4796 3916 | 3,08/1,94 2,64/1,66 1,78/1,42 |
| Саратов $t_{ext} = -27^{\circ}\text{C}$; $t_{ht} = -4,3^{\circ}\text{C}$; $z_{ht} = 196$ сут. | - жилые - общественные - производственные | А А А | 4763 4763 3979 | 3,07/1,93 2,63/1,66 1,80/1,44 |
| Смоленск $t_{ext} = -26^{\circ}\text{C}$; $t_{ht} = -2,4^{\circ}\text{C}$; $z_{ht} = 215$ сут. | - жилые - общественные - производственные | Б Б Б | 4816 4816 3956 | 3,09/1,95 2,65/1,67 1,79/1,43 |
| Сургут $t_{ext} = -43^{\circ}\text{C}$; $t_{ht} = -9,9^{\circ}\text{C}$; $z_{ht} = 257$ сут. | - жилые - общественные - производственные | Б Б Б | 7941 7684 6656 | 4,18/2,63 3,51/2,21 2,33/1,86 |
| Тамбов $t_{ext} = -28^{\circ}\text{C}$; $t_{ht} = -3,7^{\circ}\text{C}$; $z_{ht} = 201$ сут. | - жилые - общественные - производственные | А А А | 4764 4764 3960 | 3,07/1,93 2,63/1,66 1,79/1,43 |
| Тверь $t_{ext} = -29^{\circ}\text{C}$; $t_{ht} = -3,0^{\circ}\text{C}$; $z_{ht} = 218$ сут. | - жилые - общественные - производственные | Б Б Б | 5014 5014 4142 | 3,15/1,98 2,70/1,70 1,83/1,46 |
| Томск $t_{ext} = -40^{\circ}\text{C}$; $t_{ht} = -8,4^{\circ}\text{C}$; $z_{ht} = 236$ сут. | - жилые - общественные - производственные | Б Б Б | 6938 6702 5758 | 3,83/2,41 3,21/2,02 2,15/1,72 |
| Тула $t_{ext} = -27^{\circ}\text{C}$; $t_{ht} = -3,0^{\circ}\text{C}$; $z_{ht} = 207$ сут. | - жилые - общественные - производственные | Б Б Б | 4761 4761 3933 | 3,07/1,93 2,63/1,66 1,79/1,43 |
| Тюмень $t_{ext} = -38^{\circ}\text{C}$; $t_{ht} = -7,2^{\circ}\text{C}$; $z_{ht} = 225$ сут. | - жилые - общественные - производственные | А А А | 6683 6120 5220 | 3,74/2,36 3,04/1,92 2,04/1,63 |
| Улан-Удэ $t_{ext} = -37^{\circ}\text{C}$; $t_{ht} = -10,4^{\circ}\text{C}$; $z_{ht} = 237$ сут. | - жилые - общественные - производственные | А А А | 7442 7205 6257 | 4,00/2,52 3,36/2,12 2,25/1,80 |
| Ульяновск $t_{ext} = -31^{\circ}\text{C}$; $t_{ht} = -5,4^{\circ}\text{C}$; $z_{ht} = 212$ сут. | - жилые - общественные - производственные | А А А | 5597 5385 4537 | 3,36/2,12 2,82/1,78 1,91/1,53 |
| Хабаровск $t_{ext} = -31^{\circ}\text{C}$; $t_{ht} = -9,3^{\circ}\text{C}$; $z_{ht} = 211$ сут. | - жилые - общественные - производственные | Б Б Б | 6393 6182 5338 | 3,64/2,29 3,05/1,92 2,07/1,66 |
| Ханты-Мансийск $t_{ext} = -41^{\circ}\text{C}$; $t_{ht} = -8,8^{\circ}\text{C}$; $z_{ht} = 250$ сут. | - жилые - общественные - производственные | Б Б Б | 7450 7200 6200 | 4,01/2,53 3,36/2,12 2,24/1,79 |
| Челябинск $t_{ext} = -34^{\circ}\text{C}$; $t_{ht} = -6,5^{\circ}\text{C}$; $z_{ht} = 218$ сут. | - жилые - общественные - производственные | А А А | 5995 5777 4905 | 3,50/2,21 2,93/1,85 1,98/1,58 |
| Чита $t_{ext} = -38^{\circ}\text{C}$; $t_{ht} = -11,4^{\circ}\text{C}$; $z_{ht} = 242$ сут. | - жилые - общественные - производственные | Б Б Б | 7841 7599 6631 | 4,14/2,61 3,48/2,19 2,33/1,86 |
| Якутск $t_{ext} = -54^{\circ}\text{C}$; $t_{ht} = -20,6^{\circ}\text{C}$; $z_{ht} = 256$ сут. | - жилые - общественные - производственные | А А А | 10650 10394 9370 | 5,13/3,23 4,32/2,72 2,87/2,30 |
| Ярославль $t_{ext} = -31^{\circ}\text{C}$; $t_{ht} = -4,0^{\circ}\text{C}$; $z_{ht} = 221$ сут. | - жилые - общественные - производственные | Б Б Б | 5525 5304 4420 | 3,33/2,10 2,79/1,76 1,88/1,50 |

| | | | | | | |
|------|---------|------|--------|---------|------|------|
| Изм. | Кол.уч. | Лист | № док. | Подпись | Дата | Лист |
| | | | | | | 4 |

Приложение Б
(справочное)

**ТЕМПЕРАТУРА ТОЧКИ РОСЫ ДЛЯ НЕКОТОРЫХ ЗНАЧЕНИЙ ТЕМПЕРАТУР
И ОТНОСИТЕЛЬНОЙ ВЛАЖНОСТИ ВОЗДУХА**

| t_{int} , °C | Относительная влажность воздуха ϕ_{int} , % | | | | | | | | | | |
|-------------------|--|-------|--------|--------|--------|--------|--------|-------|-------|-------|-------|
| | 30 | 35 | 40 | 45 | 50 | 55 | 60 | 65 | 70 | 80 | 90 |
| -5 | -18,4 | -16,8 | -15,30 | -14,04 | -12,90 | -11,84 | -10,83 | -9,96 | -9,11 | -7,62 | -6,24 |
| -4 | -17,5 | -15,8 | -14,40 | -13,10 | -11,93 | -10,84 | -9,89 | -8,99 | -8,11 | -6,62 | -5,24 |
| -3 | -16,6 | -14,9 | -13,42 | -12,16 | -10,98 | -9,91 | -8,95 | -7,99 | -7,16 | -5,62 | -4,24 |
| -2 | -15,7 | -14,0 | -12,58 | -11,22 | -10,04 | -8,98 | -7,95 | -7,04 | -6,21 | -4,62 | -3,34 |
| -1 | -14,7 | -13,0 | -11,61 | -10,28 | -9,10 | -7,98 | -7,00 | -6,09 | -5,21 | -3,66 | -2,34 |
| 0 | -13,9 | -12,2 | -10,65 | -9,34 | -8,16 | -7,05 | -6,06 | -5,14 | -4,26 | -2,58 | -1,34 |
| 1 | -13,1 | -11,3 | -9,85 | -8,52 | -7,32 | -6,22 | -5,21 | -4,26 | -3,40 | -1,82 | -0,41 |
| 2 | -12,2 | -10,6 | -9,07 | -7,72 | -6,52 | -5,39 | -4,38 | -3,44 | -2,56 | -0,97 | -0,52 |
| 3 | -11,6 | -9,7 | -8,22 | -6,88 | -5,66 | -4,53 | -3,52 | -2,57 | -1,69 | -0,08 | 1,52 |
| 4 | -10,6 | -9,0 | -7,45 | -6,07 | -4,84 | -3,74 | -2,70 | -1,75 | -0,87 | 0,87 | 2,50 |
| 5 | -9,9 | -8,2 | -6,66 | -5,26 | -4,03 | -2,91 | -1,87 | -0,92 | -0,01 | 1,83 | 3,49 |
| 6 | -9,1 | -7,4 | -5,81 | -4,45 | -3,22 | -2,08 | -1,04 | -0,08 | 0,94 | 2,80 | 4,48 |
| 7 | -8,2 | -6,6 | -5,01 | -3,64 | -2,39 | -1,25 | -0,21 | 0,87 | 1,90 | 3,77 | 5,47 |
| 8 | -7,6 | -5,8 | -4,21 | -2,83 | -1,56 | -0,42 | -0,72 | 1,82 | 2,86 | 4,77 | 6,46 |
| 9 | -6,8 | -5,0 | -3,41 | -2,02 | -0,78 | 0,46 | 1,66 | 2,77 | 3,82 | 5,74 | 7,45 |
| 10 | -6,0 | -4,2 | -2,62 | -1,22 | 0,08 | 1,39 | 2,60 | 3,72 | 4,78 | 6,71 | 8,44 |
| 11 | -5,2 | -3,4 | -1,83 | -0,42 | 0,98 | 1,32 | 3,54 | 4,68 | 5,74 | 7,68 | 9,43 |
| 12 | -4,5 | -2,6 | -1,04 | 0,44 | 1,90 | 3,25 | 4,48 | 5,63 | 6,70 | 8,65 | 10,42 |
| 13 | -3,7 | -1,9 | -0,25 | 1,35 | 2,82 | 4,18 | 5,42 | 6,58 | 7,66 | 9,62 | 11,41 |
| 14 | -2,9 | -1,0 | 0,63 | 2,26 | 3,76 | 5,11 | 6,36 | 7,53 | 8,62 | 10,59 | 12,40 |
| 15 | -2,2 | -0,3 | 1,51 | 3,17 | 4,68 | 6,04 | 7,30 | 8,48 | 9,58 | 11,59 | 13,38 |
| 16 | -1,4 | 0,5 | 2,41 | 4,08 | 5,60 | 6,97 | 8,24 | 9,43 | 10,54 | 12,56 | 14,36 |
| 17 | -0,6 | 1,4 | 3,31 | 4,99 | 6,52 | 7,90 | 9,18 | 10,37 | 11,50 | 13,53 | 15,36 |
| 18 | 0,2 | 2,3 | 4,20 | 5,90 | 7,44 | 8,83 | 10,12 | 11,32 | 12,46 | 14,50 | 16,34 |
| 19 | 1,0 | 3,2 | 5,09 | 6,81 | 8,36 | 9,76 | 11,06 | 12,27 | 13,42 | 15,47 | 17,32 |
| 20 | 1,9 | 4,1 | 6,00 | 7,72 | 9,28 | 10,69 | 12,00 | 13,22 | 14,38 | 16,44 | 18,32 |
| 21 | 2,8 | 5,0 | 6,90 | 8,62 | 10,20 | 11,62 | 12,94 | 14,17 | 15,33 | 17,41 | 19,30 |
| 22 | 3,6 | 5,9 | 7,69 | 9,52 | 11,12 | 12,55 | 13,88 | 15,12 | 16,28 | 18,38 | 20,30 |
| 23 | 4,5 | 6,7 | 8,68 | 10,43 | 12,03 | 13,48 | 14,82 | 16,07 | 17,23 | 19,38 | 21,28 |
| 24 | 5,4 | 7,6 | 9,57 | 11,34 | 12,94 | 14,41 | 15,76 | 17,02 | 18,19 | 20,35 | 22,26 |
| 25 | 6,2 | 8,5 | 10,46 | 12,75 | 13,86 | 15,34 | 16,70 | 17,97 | 19,15 | 21,32 | 23,24 |
| 26 | 7,1 | 9,4 | 11,35 | 13,15 | 14,78 | 16,27 | 17,64 | 18,95 | 20,11 | 22,29 | 24,22 |
| 27 | 8,0 | 10,2 | 12,24 | 14,05 | 15,70 | 17,19 | 18,57 | 19,87 | 21,06 | 23,26 | 25,22 |
| 28 | 8,8 | 11,1 | 13,13 | 14,95 | 16,61 | 18,11 | 19,50 | 20,81 | 22,01 | 24,23 | 26,20 |
| 29 | 9,7 | 12,0 | 14,02 | 15,86 | 17,52 | 19,04 | 20,44 | 21,75 | 22,96 | 25,20 | 27,20 |
| 30 | 10,5 | 12,9 | 14,92 | 16,77 | 18,44 | 19,97 | 21,38 | 22,69 | 23,92 | 26,17 | 28,18 |

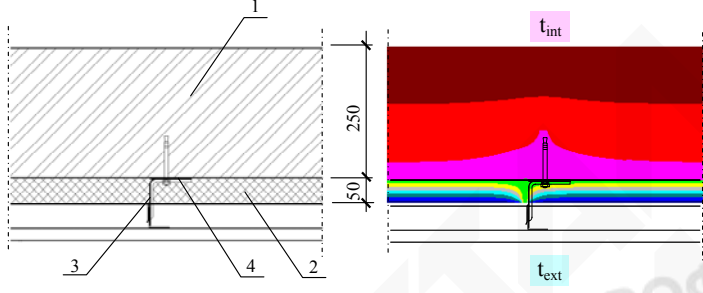
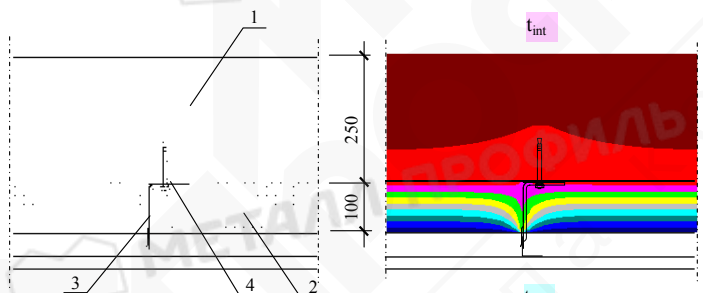
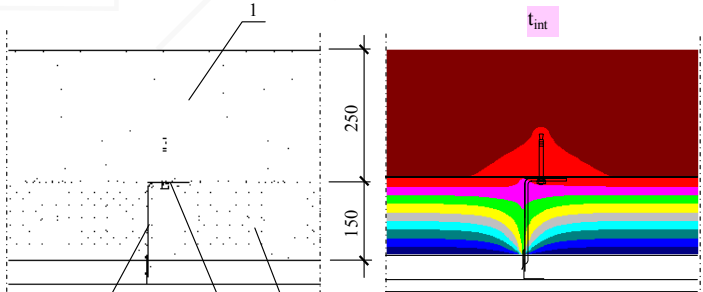
* Выдержка из справочного пособия «Расчет и проектирование ограждающих конструкций зданий/ НИИСФ. – М.: Стройиздат, 1990. – 233 с. [9]

| | | | | | | | |
|------|---------|------|--------|---------|------|----------------|-----------|
| | | | | | | ТР-К.45/2-2009 | Лист 5 |
| Изм. | Кол.уч. | Лист | № док. | Подпись | Дата | | |

Приложение Г
(справочное)

**РЕЗУЛЬТАТЫ РАСЧЕТА КОЭФФИЦИЕНТА ТЕПЛОТЕХНИЧЕСКОЙ ОДНОРОДНОСТИ
НАРУЖНЫХ СТЕН С НАВЕСНОЙ ФАСАДНОЙ СИСТЕМОЙ «ВФ МП»
ПРИ ШАГЕ НЕСУЩИХ КРОНШТЕЙНОВ 600 ММ**

Таблица Г1

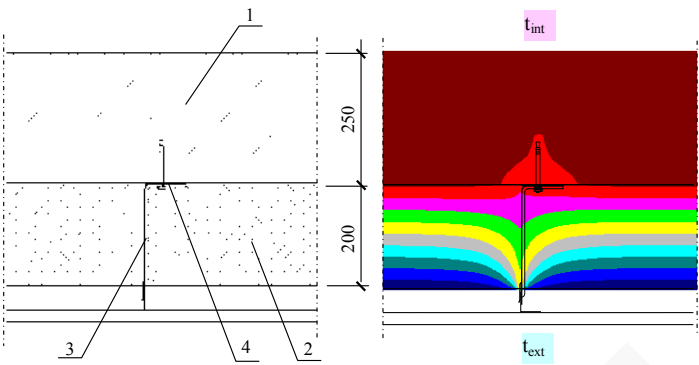
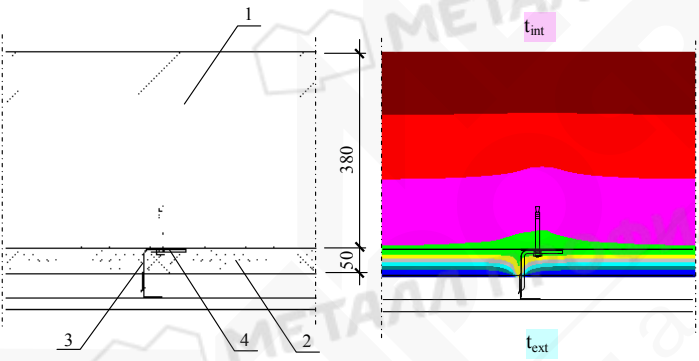
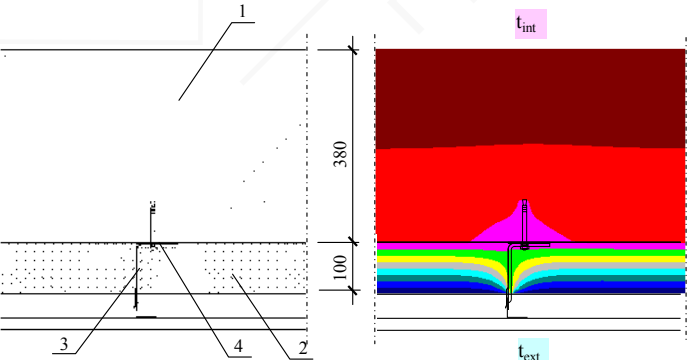
| Толщина утепляющего слоя, мм | Эскизы расчетных фрагментов и результаты расчета температурных полей | Коэффициент теплопроводности утеплителя, Вт/(м·°С) | Коэффициент теплотехнической однородности r |
|--|---|--|---|
| 1. Несущий слой - кладка толщиной 250 мм из кирпича | | | |
| 50 |  <p>Условные обозначения: 1 – кирпичная кладка; 2 – утеплитель; 3 – кронштейн фасадной системы; 4 – паронитовая прокладка.</p> | 0,040 | 0,95 |
| | | 0,045 | 0,95 |
| | | 0,050 | 0,96 |
| | | 0,060 | 0,96 |
| 100 |  <p>Условные обозначения: 1 – кирпичная кладка; 2 – утеплитель; 3 – кронштейн фасадной системы; 4 – паронитовая прокладка.</p> | 0,040 | 0,91 |
| | | 0,045 | 0,91 |
| | | 0,050 | 0,92 |
| | | 0,060 | 0,93 |
| 100 |  <p>Условные обозначения: 1 – кирпичная кладка; 2 – утеплитель; 3 – кронштейн фасадной системы; 4 – паронитовая прокладка.</p> | 0,040 | 0,87 |
| | | 0,045 | 0,88 |
| | | 0,050 | 0,89 |
| | | 0,060 | 0,90 |

| | | | | | |
|------|---------|------|--------|---------|------|
| Изм. | Кол.уч. | Лист | № док. | Подпись | Дата |
|------|---------|------|--------|---------|------|

ТР-К.45/2-2009

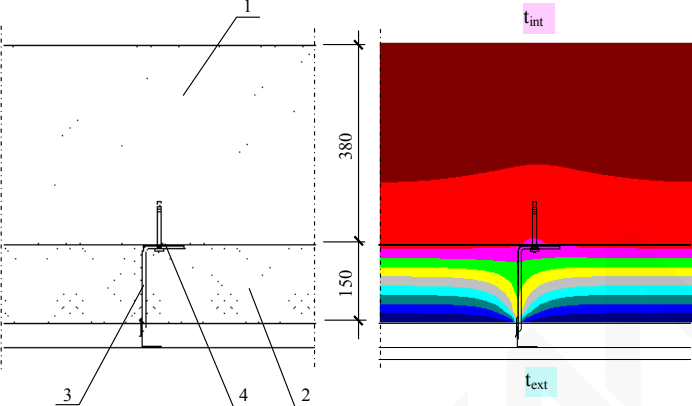
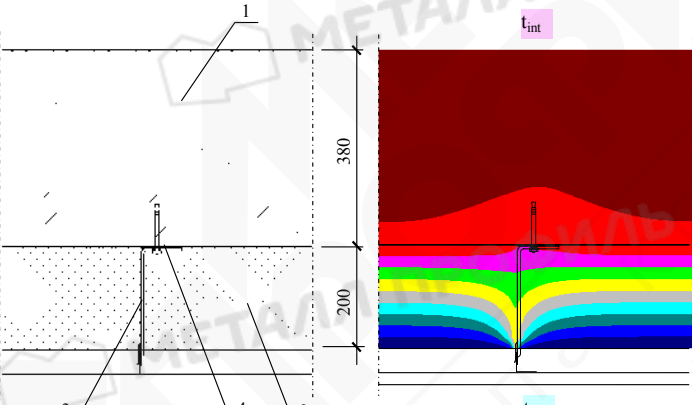
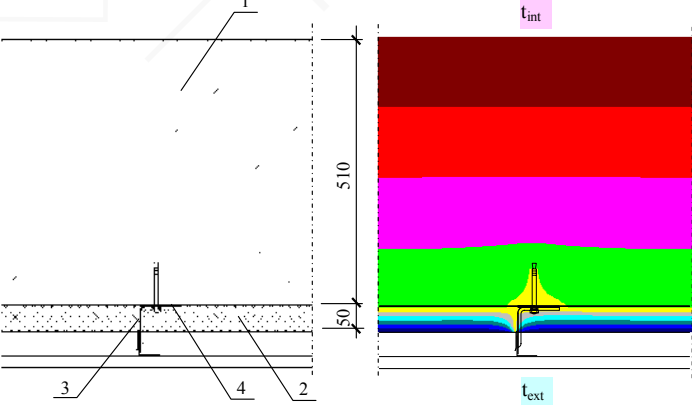
Лист

9

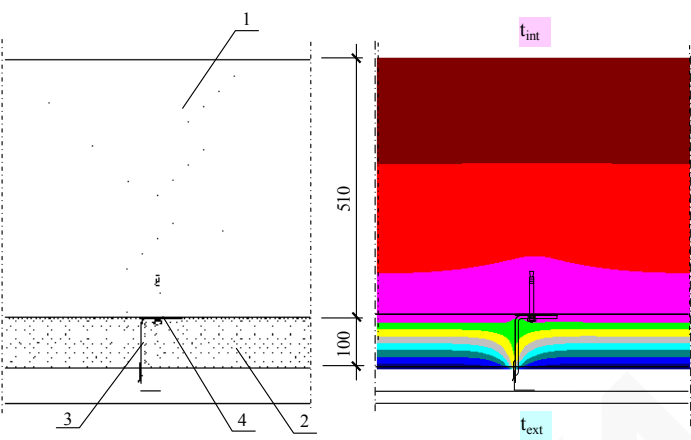
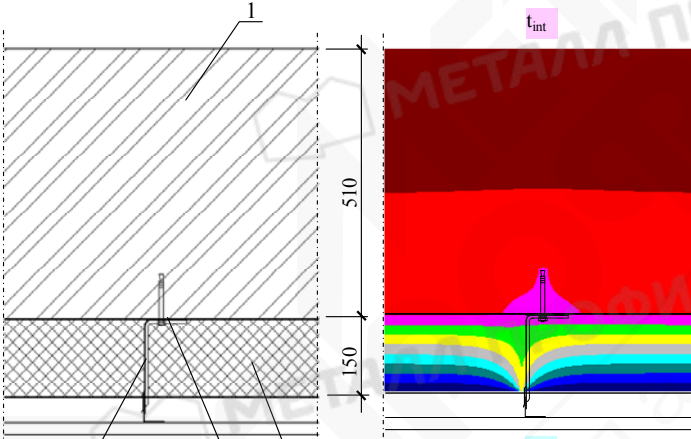
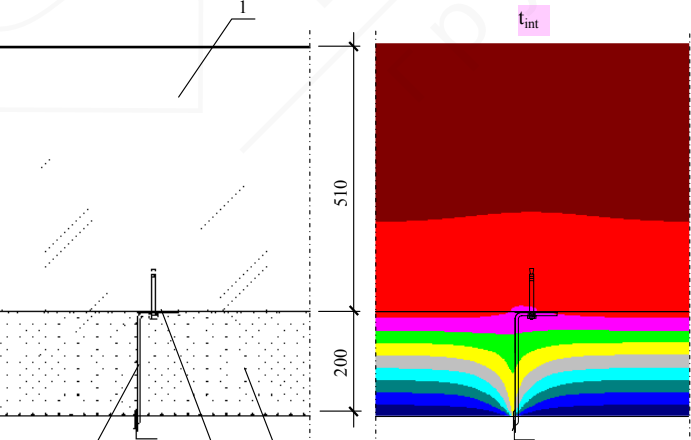
| Толщина утепляющего слоя, мм | Эскизы расчетных фрагментов и результаты расчета температурных полей | Коэффициент теплопроводности утеплителя, Вт/(м·°С) | Коэффициент теплотехнической однородности r |
|--|--|--|---|
| 200 |  <p>Условные обозначения: 1 – кирпичная кладка; 2 – утеплитель; 3 – кронштейн фасадной системы; 4 – паронитовая прокладка.</p> | 0,040 | 0,83 |
| | | 0,045 | 0,84 |
| | | 0,050 | 0,85 |
| | | 0,060 | 0,87 |
| 2. Несущий слой - кладка толщиной 380 мм из кирпича | | | |
| 50 |  <p>Условные обозначения: 1 – кирпичная кладка; 2 – утеплитель; 3 – кронштейн фасадной системы; 4 – паронитовая прокладка.</p> | 0,040 | 0,96 |
| | | 0,045 | 0,96 |
| | | 0,050 | 0,97 |
| | | 0,060 | 0,97 |
| 100 |  <p>Условные обозначения: 1 – кирпичная кладка; 2 – утеплитель; 3 – кронштейн фасадной системы; 4 – паронитовая прокладка.</p> | 0,040 | 0,91 |
| | | 0,045 | 0,92 |
| | | 0,050 | 0,93 |
| | | 0,060 | 0,93 |

| | | | | | |
|------|---------|------|--------|---------|------|
| Изм. | Кол.уч. | Лист | № док. | Подпись | Дата |
|------|---------|------|--------|---------|------|

Продолжение таблицы Г1

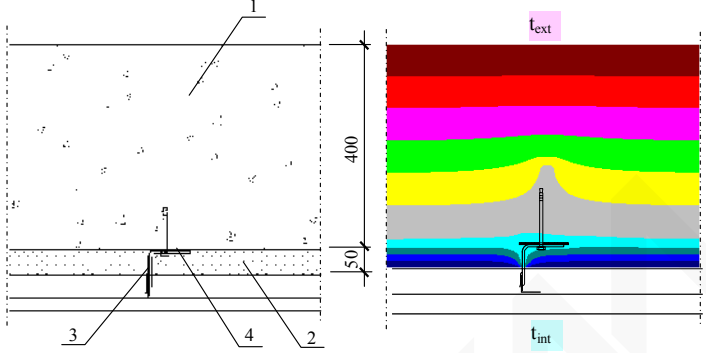
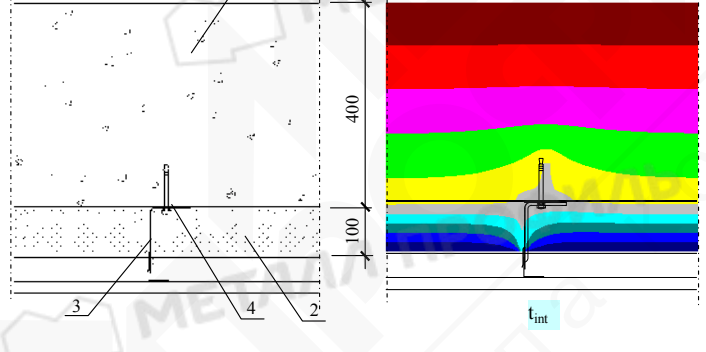
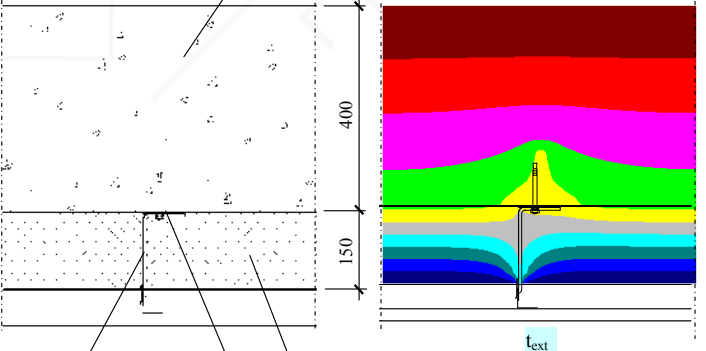
| Толщина утепляющего слоя, мм | Эскизы расчетных фрагментов и результаты расчета температурных полей | Коэффициент теплопроводности утеплителя λ , Вт/(м·°С) | Коэффициент теплотехнической однородности r |
|--|--|---|---|
| 150 |  <p data-bbox="359 795 1053 884">Условные обозначения: 1 – кирпичная кладка; 2 – утеплитель; 3 – кронштейн фасадной системы; 4 – паронитовая прокладка.</p> | 0,040 | 0,86 |
| | | 0,045 | 0,88 |
| | | 0,050 | 0,88 |
| | | 0,060 | 0,90 |
| 200 |  <p data-bbox="359 1344 1053 1433">Условные обозначения: 1 – кирпичная кладка; 2 – утеплитель; 3 – кронштейн фасадной системы; 4 – паронитовая прокладка.</p> | 0,040 | 0,83 |
| | | 0,045 | 0,84 |
| | | 0,050 | 0,86 |
| | | 0,060 | 0,88 |
| 3. Несущий слой - кладка толщиной 510 мм из кирпича | | | |
| 50 |  <p data-bbox="359 1948 1053 2027">Условные обозначения: 1 – кирпичная кладка; 2 – утеплитель; 3 – кронштейн фасадной системы; 4 – паронитовая прокладка.</p> | 0,040 | 0,95 |
| | | 0,045 | 0,96 |
| | | 0,050 | 0,96 |
| | | 0,060 | 0,97 |

| | | | | | |
|------|---------|------|--------|---------|------|
| Изм. | Кол.уч. | Лист | № док. | Подпись | Дата |
|------|---------|------|--------|---------|------|

| Толщина утепляющего слоя, мм | Эскизы расчетных фрагментов и результаты расчета температурных полей | Коэффициент теплопроводности утеплителя, Вт/(м·°С) | Коэффициент теплотехнической однородности r |
|------------------------------|--|--|---|
| 100 |  <p>Условные обозначения: 1 – кирпичная кладка; 2 – утеплитель; 3 – кронштейн фасадной системы; 4 – паронитовая прокладка.</p> | 0,040 | 0,92 |
| 150 |  <p>Условные обозначения: 1 – кирпичная кладка; 2 – утеплитель; 3 – кронштейн фасадной системы; 4 – паронитовая прокладка.</p> | 0,040 | 0,88 |
| 200 |  <p>Условные обозначения: 1 – кирпичная кладка; 2 – утеплитель; 3 – кронштейн фасадной системы; 4 – паронитовая прокладка.</p> | 0,040 | 0,84 |

| | | | | | |
|------|---------|------|--------|---------|------|
| Изм. | Кол.уч. | Лист | № док. | Подпись | Дата |
|------|---------|------|--------|---------|------|

Таблица Г2

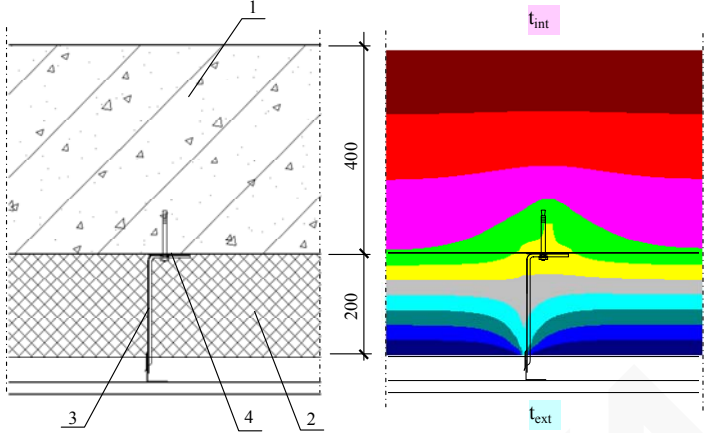
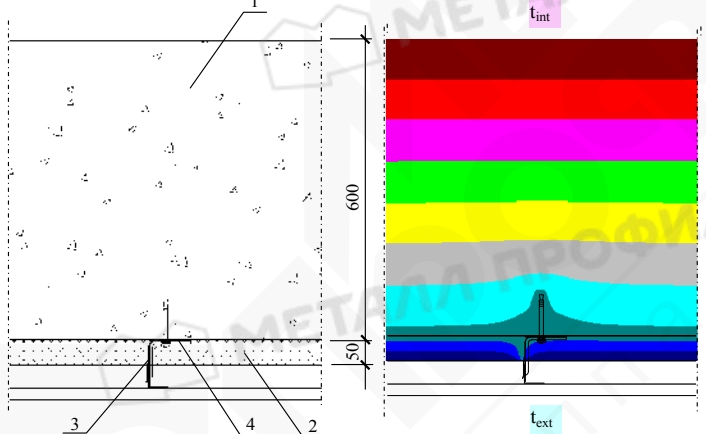
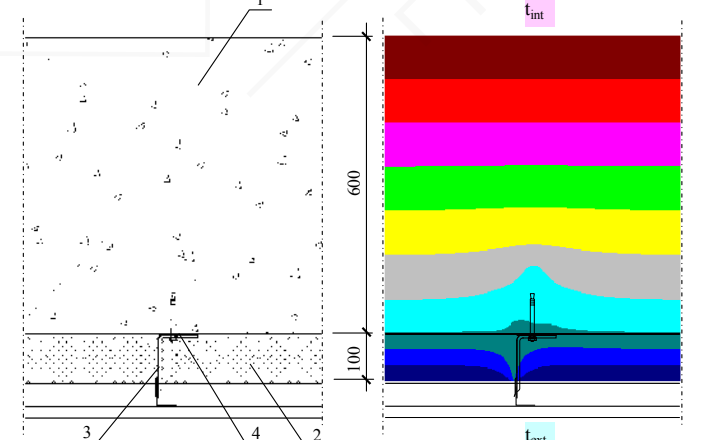
| Толщина утепляющего слоя, мм | Эскизы расчетных фрагментов и результаты расчета температурных полей | Коэффициент теплопроводности утеплителя λ , Вт/(м·°C) | Коэффициент теплотехнической однородности r |
|--|---|---|---|
| 1. Несущий слой – кладка толщиной 400 из керамзитобетонных блоков | | | |
| 50 |  | 0,040 | 0,94 |
| | | 0,045 | 0,94 |
| | | 0,050 | 0,94 |
| | <p>Условные обозначения: 1 – кладка из керамзитобетонных блоков $\gamma=600$ кг/м³; 2 – утеплитель; 3 – кронштейн фасадной системы; 4 – паронитовая прокладка.</p> | 0,060 | 0,94 |
| 100 |  | 0,040 | 0,92 |
| | | 0,045 | 0,92 |
| | | 0,050 | 0,93 |
| | <p>Условные обозначения: 1 – кладка из керамзитобетонных блоков $\gamma=600$ кг/м³; 2 – утеплитель; 3 – кронштейн фасадной системы; 4 – паронитовая прокладка.</p> | 0,060 | 0,93 |
| 150 |  | 0,040 | 0,88 |
| | | 0,045 | 0,89 |
| | | 0,050 | 0,90 |
| | <p>Условные обозначения: 1 – кладка из керамзитобетонных блоков $\gamma=600$ кг/м³; 2 – утеплитель; 3 – кронштейн фасадной системы; 4 – паронитовая прокладка.</p> | 0,060 | 0,91 |

| | | | | | |
|------|---------|------|--------|---------|------|
| Изм. | Кол.уч. | Лист | № док. | Подпись | Дата |
|------|---------|------|--------|---------|------|

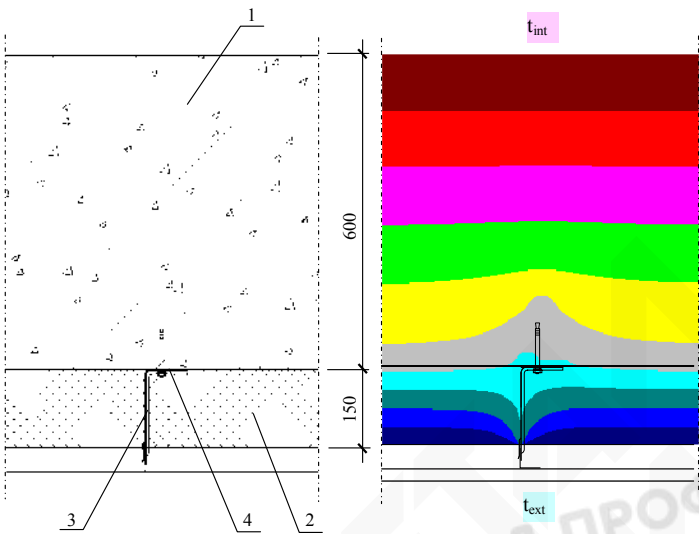
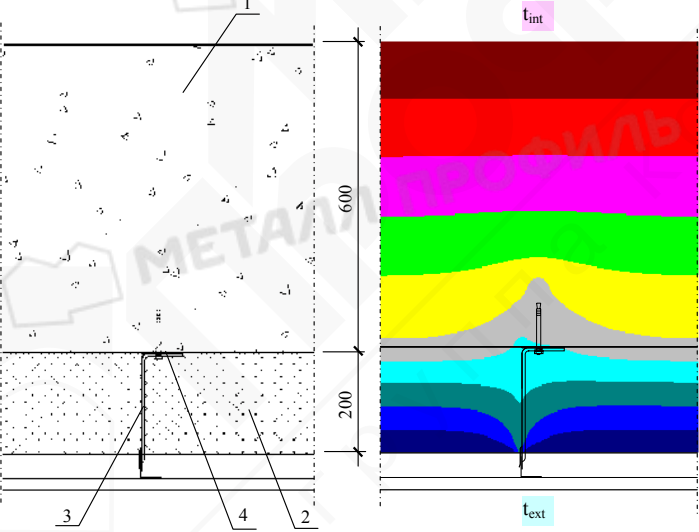
ТР-К.45/2-2009

Лист

13

| Толщина утепляющего слоя, мм | Эскизы расчетных фрагментов и результаты расчета температурных полей | Коэффициент теплопроводности утеплителя, Вт/(м·°С) | Коэффициент теплотехнической однородности r |
|--|---|--|---|
| 200 |  <p data-bbox="268 779 917 851">Условные обозначения: 1 – кладка из керамзитобетонных блоков $\gamma=600$ кг/м³; 2 – утеплитель; 3 – кронштейн фасадной системы; 4 – паронитовая прокладка.</p> | 0,040 | 0,86 |
| | | 0,045 | 0,87 |
| | | 0,050 | 0,88 |
| | | 0,060 | 0,89 |
| 2. Несущий слой – кладка толщиной 600 из керамзитобетонных блоков | | | |
| 50 |  <p data-bbox="268 1384 917 1456">Условные обозначения: 1 – кладка из керамзитобетонных блоков $\gamma=600$ кг/м³; 2 – утеплитель; 3 – кронштейн фасадной системы; 4 – паронитовая прокладка.</p> | 0,040 | 0,98 |
| | | 0,045 | 0,98 |
| | | 0,050 | 0,98 |
| | | 0,060 | 0,99 |
| 100 |  <p data-bbox="268 1948 917 2027">Условные обозначения: 1 – кладка из керамзитобетонных блоков $\gamma=600$ кг/м³; 2 – утеплитель; 3 – кронштейн фасадной системы; 4 – паронитовая прокладка.</p> | 0,040 | 0,95 |
| | | 0,045 | 0,96 |
| | | 0,050 | 0,96 |
| | | 0,060 | 0,97 |

Окончание таблицы Г2

| Толщина утепляющего слоя, мм | Эскизы расчетных фрагментов и результаты расчета температурных полей | Коэффициент теплопроводности утеплителя λ , Вт/(м·°С) | Коэффициент теплотехнической однородности \mathbf{r} |
|------------------------------|--|---|--|
| 150 |  <p>Условные обозначения: 1 – кладка из керамзитобетонных блоков $\gamma=600$ кг/м³; 2 – утеплитель; 3 – кронштейн фасадной системы; 4 – паронитовая прокладка.</p> | 0,040 | 0,92 |
| | | 0,045 | 0,93 |
| | | 0,050 | 0,94 |
| | | 0,060 | 0,95 |
| 200 |  <p>Условные обозначения: 1 – кладка из керамзитобетонных блоков $\gamma=600$ кг/м³; 2 – утеплитель; 3 – кронштейн фасадной системы; 4 – паронитовая прокладка.</p> | 0,040 | 0,89 |
| | | 0,045 | 0,91 |
| | | 0,050 | 0,91 |
| | | 0,060 | 0,93 |

| | | | | | | | |
|------|---------|------|--------|---------|------|----------------|------|
| | | | | | | ТР-К.45/2-2009 | Лист |
| Изм. | Кол.уч. | Лист | № док. | Подпись | Дата | | 15 |

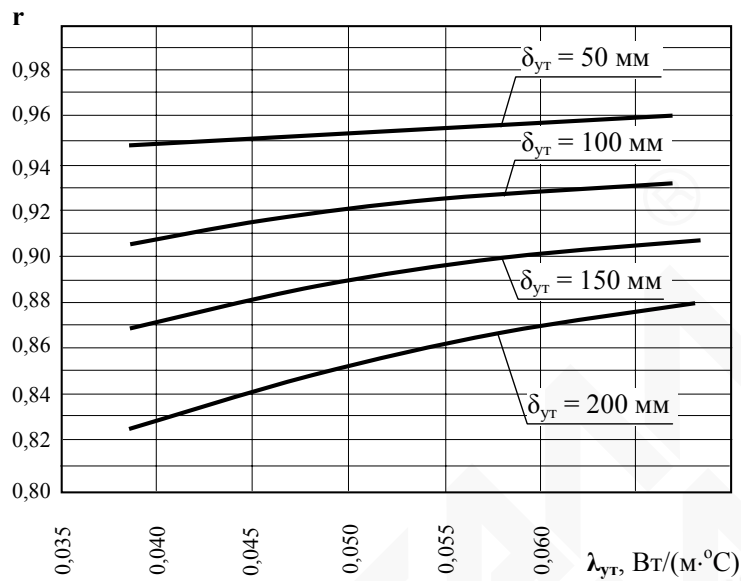


Рис. Г1. Зависимость коэффициента теплотехнической однородности r от теплопроводности фасадной теплоизоляции $\lambda_{ут}$ для глухого участка наружной стены с несущим слоем из кирпичной кладки толщиной **250** мм при шаге несущих кронштейнов 600 мм

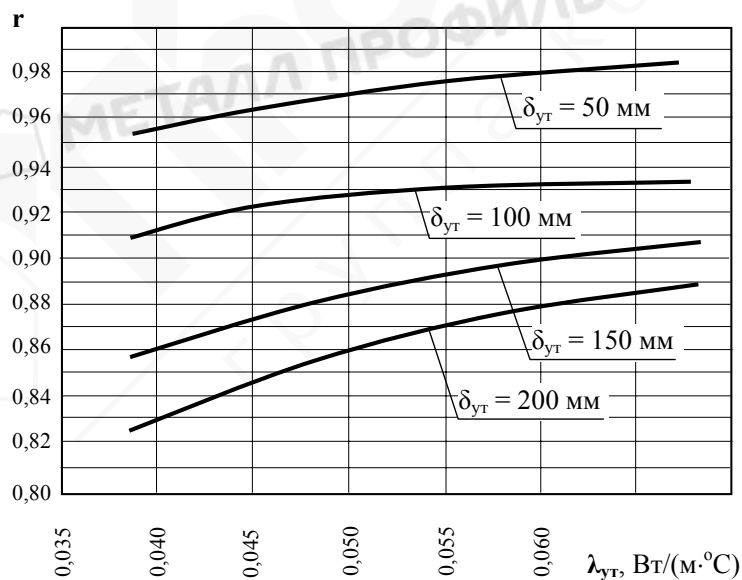


Рис.Г2. Зависимость коэффициента теплотехнической однородности r от теплопроводности фасадной теплоизоляции $\lambda_{ут}$ для глухого участка наружной стены с несущим слоем из кирпичной кладки толщиной **380** мм при шаге несущих кронштейнов 600 мм

| | | | | | |
|------|---------|------|--------|---------|------|
| Изм. | Кол.уч. | Лист | № док. | Подпись | Дата |
|------|---------|------|--------|---------|------|

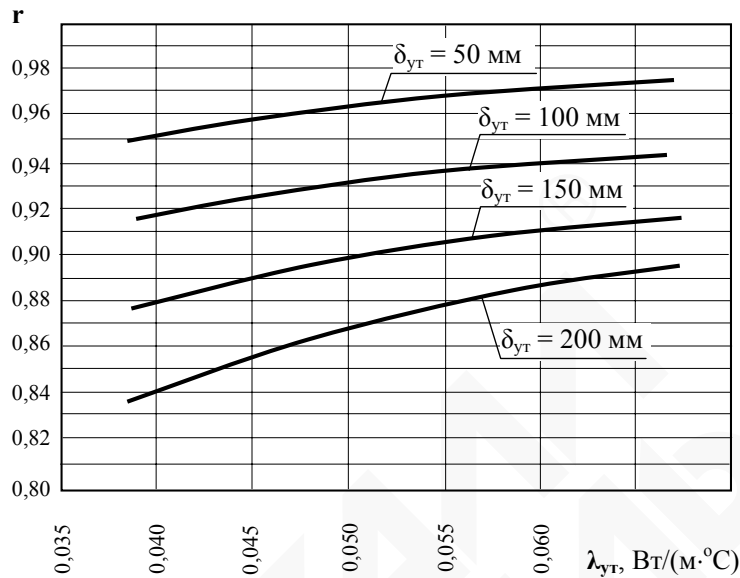


Рис.Г3. Зависимость коэффициента теплотехнической однородности r от теплопроводности фасадной теплоизоляции $\lambda_{ут}$ для глухого участка наружной стены с несущим слоем из кирпичной кладки толщиной **510** мм при шаге несущих кронштейнов 600 мм

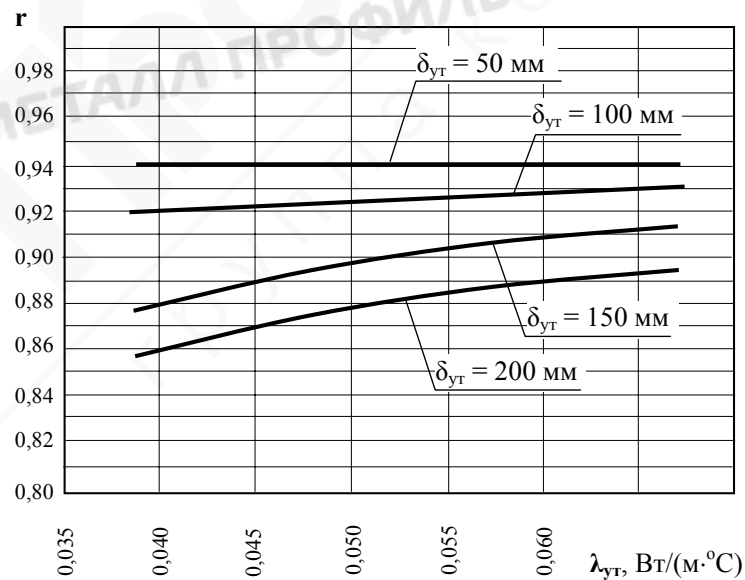


Рис.Г4. Зависимость коэффициента теплотехнической однородности r от теплопроводности фасадной теплоизоляции $\lambda_{ут}$ для глухого участка наружной стены с несущим слоем из монолитного бетона или керамзитобетонных блоков плотностью $\gamma = 600$ кг/м³ толщиной **400** мм при шаге несущих кронштейнов 600 мм

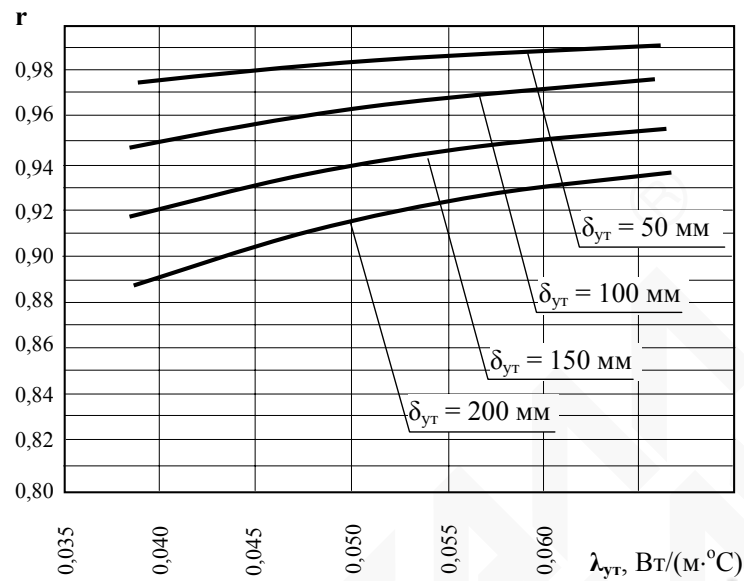


Рис. Г5. Зависимость коэффициента теплотехнической однородности r от теплопроводности фасадной теплоизоляции $\lambda_{ут}$ для глухого участка наружной стены с несущим слоем из монолитного бетона или керамзитобетонных блоков $\gamma = 600 \text{ кг/м}^3$ толщиной **600 мм**

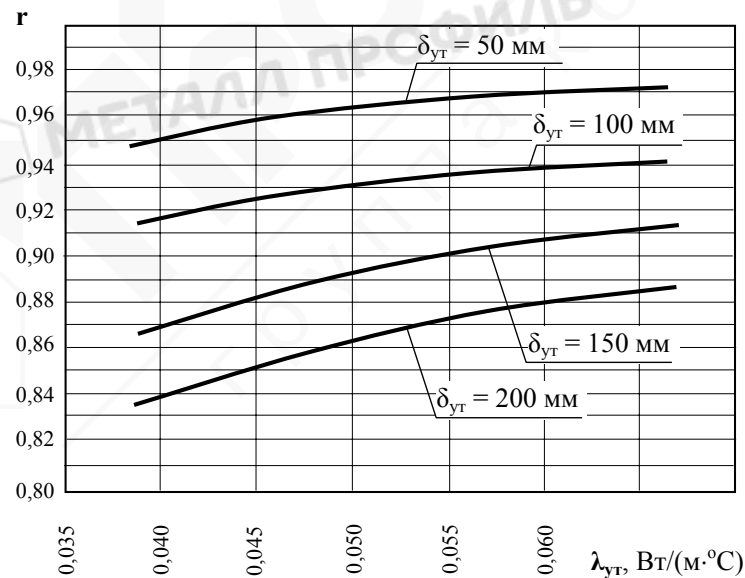


Рис. Г6. Зависимость коэффициента теплотехнической однородности r от теплопроводности фасадной теплоизоляции $\lambda_{ут}$ для глухого участка наружной стены с несущим слоем из монолитного бетона или керамзитобетонных блоков $\gamma = 1400 \text{ кг/м}^3$ толщиной **400 мм** при шаге несущих кронштейнов 600 мм

| Изм. | Кол.уч. | Лист | № док. | Подпись | Дата |
|------|---------|------|--------|---------|------|
| | | | | | |

Приложение Д (справочное)

ПРИМЕРЫ ТЕПЛОТЕХНИЧЕСКОГО РАСЧЕТА НАРУЖНЫХ СТЕН ЗДАНИЙ С НАВЕСНОЙ ФАСАДНОЙ СИСТЕМОЙ «ВФ МП»

Пример Д1. Рассчитать приведенное сопротивление теплопередаче наружной стены жилого здания с навесной фасадной системой «ВФ МП». Конструктивное решение стены приведено на рис.Д1. Схематичное изображение фасада здания представлено на рис.Д2.

Д1.1 Исходные данные:

- район строительства – г.Москва;
- назначение здания – жилое;
- расчетная температура внутреннего воздуха – $t_{int} = +20\text{ }^{\circ}\text{C}$ [7];
- расчетная относительная влажность внутреннего воздуха – $\varphi_{int} = 55\%$ [1];
- расчетная температура наружного воздуха – $t_{ext} = -28\text{ }^{\circ}\text{C}$ [8];
- средняя температура отопительного периода $t_{ht} = -3,1\text{ }^{\circ}\text{C}$ [8];
- продолжительность отопительного периода $z_{ht} = 214$ сут. [8];
- влажностный режим помещений – нормальный;
- зона влажности – нормальная;
- условия эксплуатации – «Б»;
- температура точки росы - $t_d = 10,7\text{ }^{\circ}\text{C}$ (приложение Б);
- коэффициент теплоотдачи внутренней поверхности $\alpha_{int} = 8,7\text{ Вт}/(\text{м}^2 \cdot ^{\circ}\text{C})$ [1, табл.7];;
- коэффициент теплоотдачи наружной поверхности, обращенной в вентилируемую прослойку $\alpha_{ext} = 10,8\text{ Вт}/(\text{м}^2 \cdot ^{\circ}\text{C})$ [2].



Д1.2. Порядок расчета

Рассчитываем величину градусо-суток отопительного периода D_d :

$$D_d = [20 - (-3,1)] \cdot 214 = 4943\text{ }^{\circ}\text{C} \cdot \text{сут.}$$

По табл.4 [1] определяем $R_{reg} = 3,13\text{ м}^2 \cdot ^{\circ}\text{C}/\text{Вт}$.

Задаемся в первом приближении величиной коэффициента теплотехнической однородности $r = 0,88$ и по формуле (3.1) рассчитываем требуемую толщину теплоизоляционного слоя

$$\delta_{ym} = 0,045 \cdot [3,13/0,88 - 1/8,7 - 1/10,8 - (0,015/0,93 + 0,38/0,81)] = 0,13\text{ м.}$$

Принимаем к дальнейшему расчету $\delta_{ym} = 0,14\text{ м}$.

По табл.Г1 проверяем правильность принятой величины $r = 0,88$ (по интерполяции).

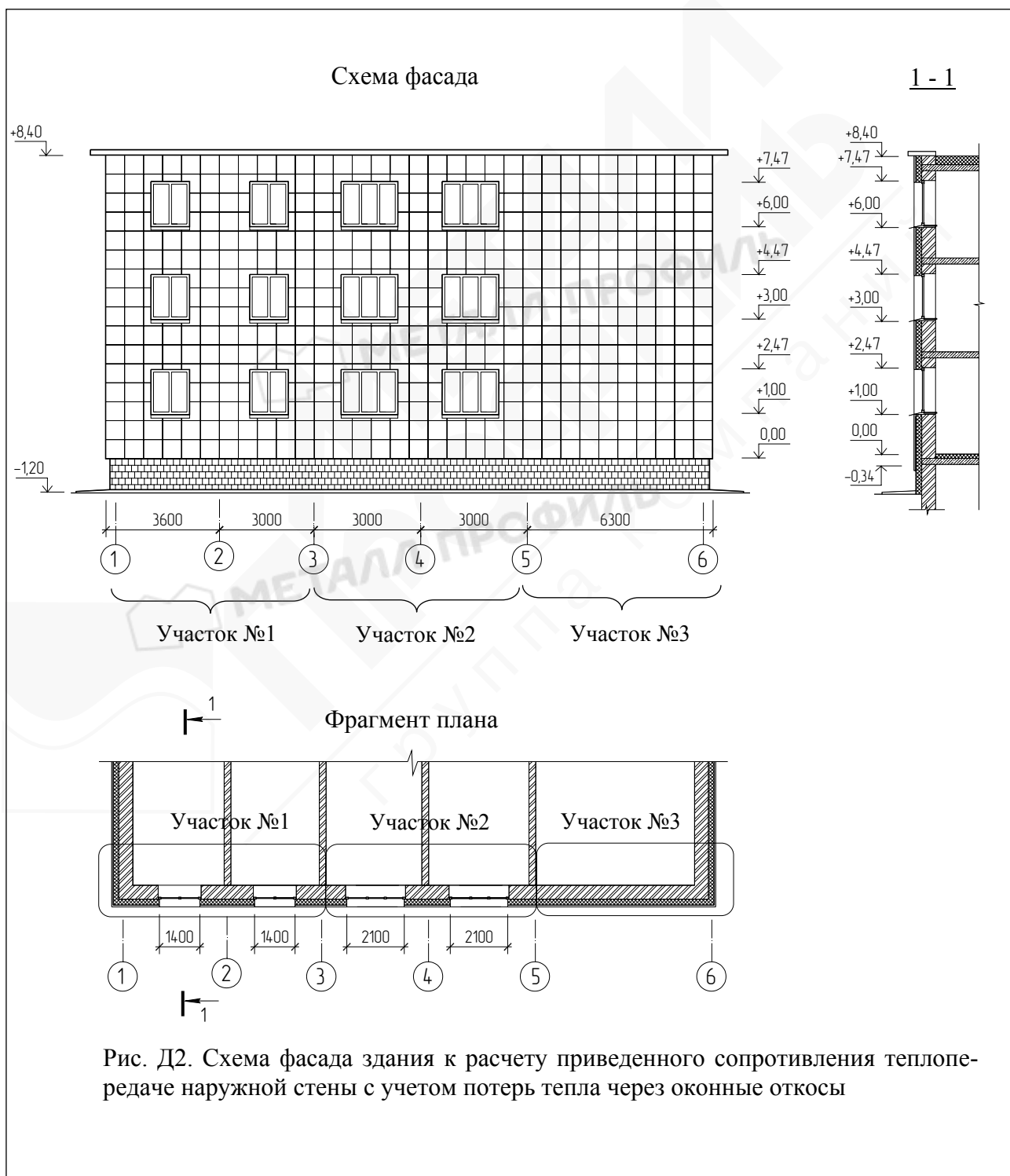
| | | | | | | |
|------|---------|------|--------|---------|------|----------------|
| | | | | | | Лист |
| | | | | | | 20 |
| Изм. | Кол.уч. | Лист | № док. | Подпись | Дата | ТР-К.45/2-2009 |

Рассчитываем условное сопротивление теплопередаче наружной стены R_o^{ycl}

$$R_o^{ycl} = 1/8,7 + (0,015/0,93 + 0,38/0,81 + 0,14/0,045) + 1/10,8 = 3,80 \text{ м}^2 \cdot \text{°C}/\text{Вт}.$$

Для расчета приведенного сопротивления наружной стены по фасаду здания выделяем характерные участки (см. рис.Д2), определяем их площадь и отношение площади оконных проемов к общей площади участка β :

- участок 1 – без оконных проемов - $F_1^{ct} = 55,06 \text{ м}^2$ ($F_1^{об} = 55,06 \text{ м}^2$; $F_2^{ок} = 0$);
- участок 2 – с оконными проемами $F_2^{ct} = 33,92 \text{ м}^2$, $\beta = 0,35$ ($F_2^{об} = 52,44 \text{ м}^2$, $F_2^{ок} = 18,52 \text{ м}^2$);
- участок 3 – с оконными проемами $F_3^{ct} = 45,33 \text{ м}^2$, $\beta = 0,21$ ($F_3^{об} = 57,68 \text{ м}^2$, $F_3^{ок} = 12,35 \text{ м}^2$).



| | | | | | |
|------|---------|------|--------|---------|------|
| Изм. | Кол.уч. | Лист | № док. | Подпись | Дата |
| | | | | | |

По таблице 2 определяем коэффициенты учета дополнительных потерь тепла через оконные откосы k_i :

- участок 1 – $k_1 = 1$;
- участок 2 – $k_2 = 0,90$;
- участок 3 – $k_3 = 0,92$.

Рассчитываем величины приведенного сопротивления теплопередаче наружных стен по отдельным участкам:

- участок 1 – $R_{o,1} = 3,80 \cdot 0,88 \cdot 1 = 3,34 \text{ м}^2 \cdot \text{°C/Вт}$;
- участок 2 – $R_{o,2} = 3,80 \cdot 0,88 \cdot 0,90 = 3,01 \text{ м}^2 \cdot \text{°C/Вт}$;
- участок 3 – $R_{o,3} = 3,80 \cdot 0,88 \cdot 0,92 = 3,08 \text{ м}^2 \cdot \text{°C/Вт}$.

Приведенное сопротивление теплопередаче стены для фасада в целом рассчитываем по формуле (3.4) с учетом площадей и сопротивлений теплопередаче отдельных участков

$$R_o = \frac{55,06 + 33,92 + 45,33}{55,06/3,34 + 33,92/3,01 + 45,33/3,08} = 3,16 \text{ м}^2 \cdot \text{°C/Вт}.$$

Сопоставляем полученное значение с нормируемой величиной – $R_o = 3,16 \text{ м}^2 \cdot \text{°C/Вт} > R_{reg} = 3,13 \text{ м}^2 \cdot \text{°C/Вт}$.

Определяем величину расчетного температурного перепада Δt_o между температурой внутреннего воздуха и температурой внутренней поверхности стены

$$\Delta t_o = 1 \cdot [20 - (-28)] / (3,16 \cdot 8,7) = 1,7 \text{ °C}.$$

В соответствии с табл.5 [1] величина нормируемого температурного перепада $\Delta t_n = 4,5 \text{ °C} < \Delta t_o = 1,7 \text{ °C}$.

Выбранная конструкция стены по показателям приведенное сопротивление теплопередаче, расчетный температурный перепад между температурами внутреннего воздуха и внутренней поверхности конструкции соответствует требованиям СНиП 23-02-2003.

Пример Д2. Провести оценку температурного режима узла сопряжения наружной стены жилого здания с оконным блоком из ПВХ-профилей.

Схема узла сопряжения представлена на рис.Д3.

Д2.1 Исходные данные:

- район строительства – г.Самара;
- назначение здания – жилое;
- расчетная температура внутреннего воздуха – $t_{int} = +20 \text{ °C}$ [7];
- расчетная относительная влажность внутреннего воздуха – $\phi_{int} = 55 \%$ [1];
- расчетная температура наружного воздуха – $t_{ext} = -30 \text{ °C}$ [8];
- влажностный режим помещений – нормальный;
- зона влажности – сухая;
- условия эксплуатации – «А»;
- температура точки росы – $t_d = 10,7 \text{ °C}$ (приложение Б);
- коэффициент теплоотдачи внутренней поверхности $\alpha_{int} = 8,7 \text{ Вт/(м}^2 \cdot \text{°C)}$ [1, табл.7];;
- коэффициент теплоотдачи наружной поверхности $\alpha_{ext} = 23 \text{ Вт/(м}^2 \cdot \text{°C)}$ [2].
- коэффициент теплоотдачи наружной поверхности, обращенной в вентилируемую прослойку $\alpha_{ext,1} = 10,8 \text{ Вт/(м}^2 \cdot \text{°C)}$ [2];.

Д2.2. Порядок расчета

В качестве расчетного фрагмента принимаем фрагмент стены по осям симметрии – от середины простенка до середины оконного блока.

Расчет выполняем по программе расчета трехмерных температурных полей ограждающих конструкций зданий «TEMPER-3D» (сертификат ФГУП ЦПС Госстроя РФ № РОСС

| | | | | | | | | |
|------|---------|------|--------|---------|------|--|--|------|
| | | | | | | | | Лист |
| | | | | | | | | 22 |
| Изм. | Кол.уч. | Лист | № док. | Подпись | Дата | | | |

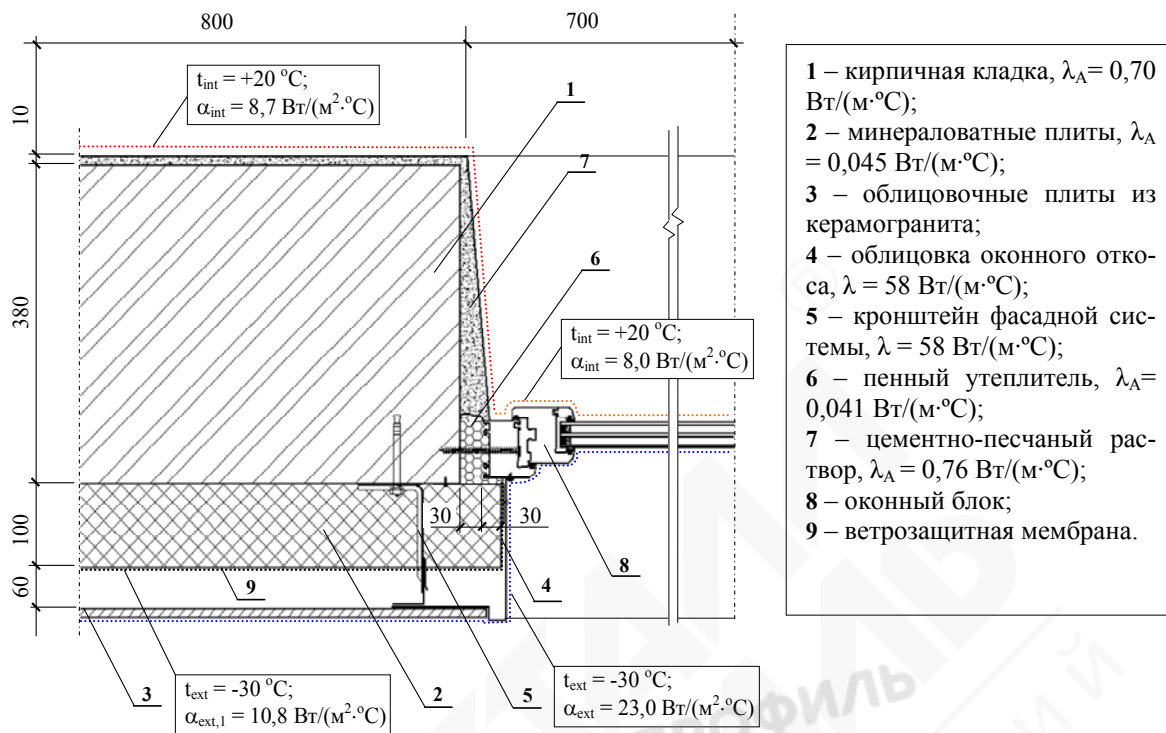


Рис. Д3. Расчетная схема узла сопряжения наружной стены с навесной фасадной системой «ВФ МП» о оконным блоком из ПВХ-профилей

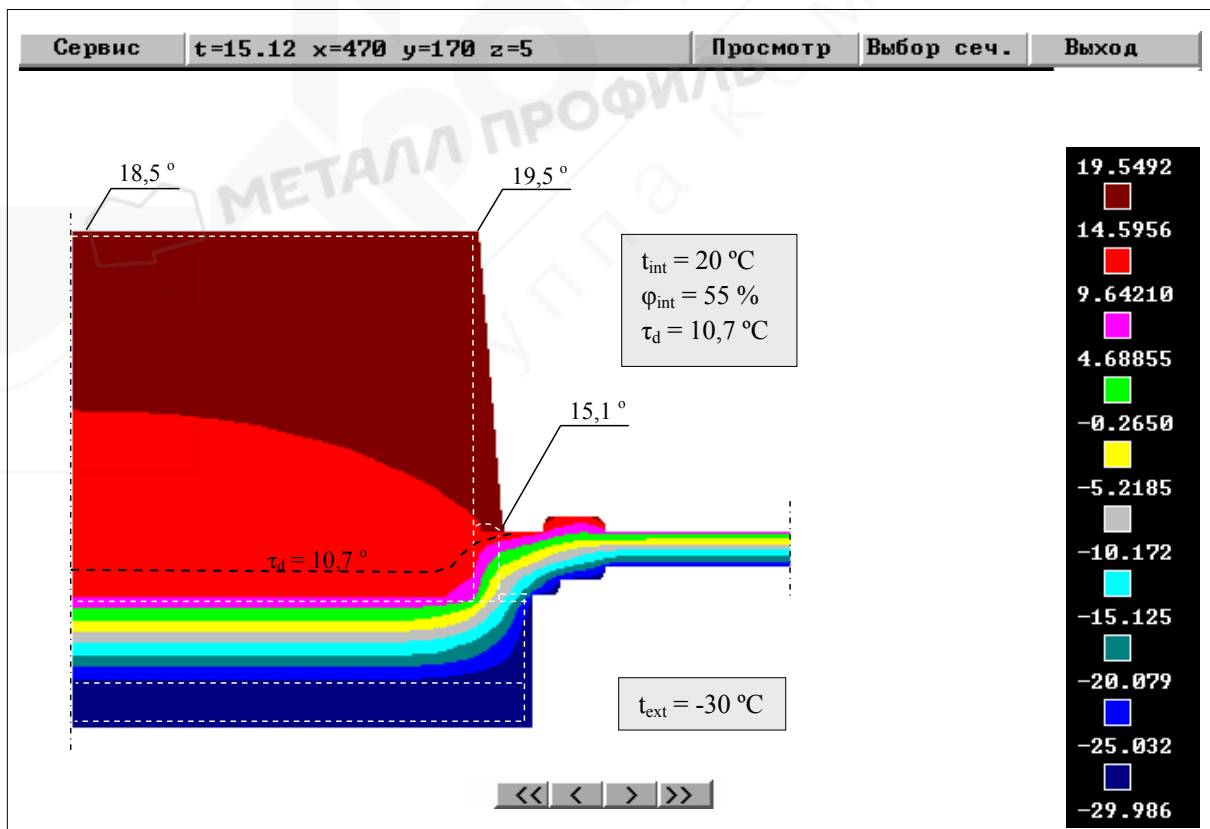


Рис. Д4. Результаты расчета распределения температур в зоне сопряжения наружной стены с оконным блоком из ПВХ-профилей

| | | | | | | | | | | |
|------|---------|------|--------|---------|------|----------------|--|--|--|------|
| | | | | | | | | | | Лист |
| | | | | | | | | | | 23 |
| Изм. | Кол.уч. | Лист | № док. | Подпись | Дата | ТР-К.45/2-2009 | | | | |

